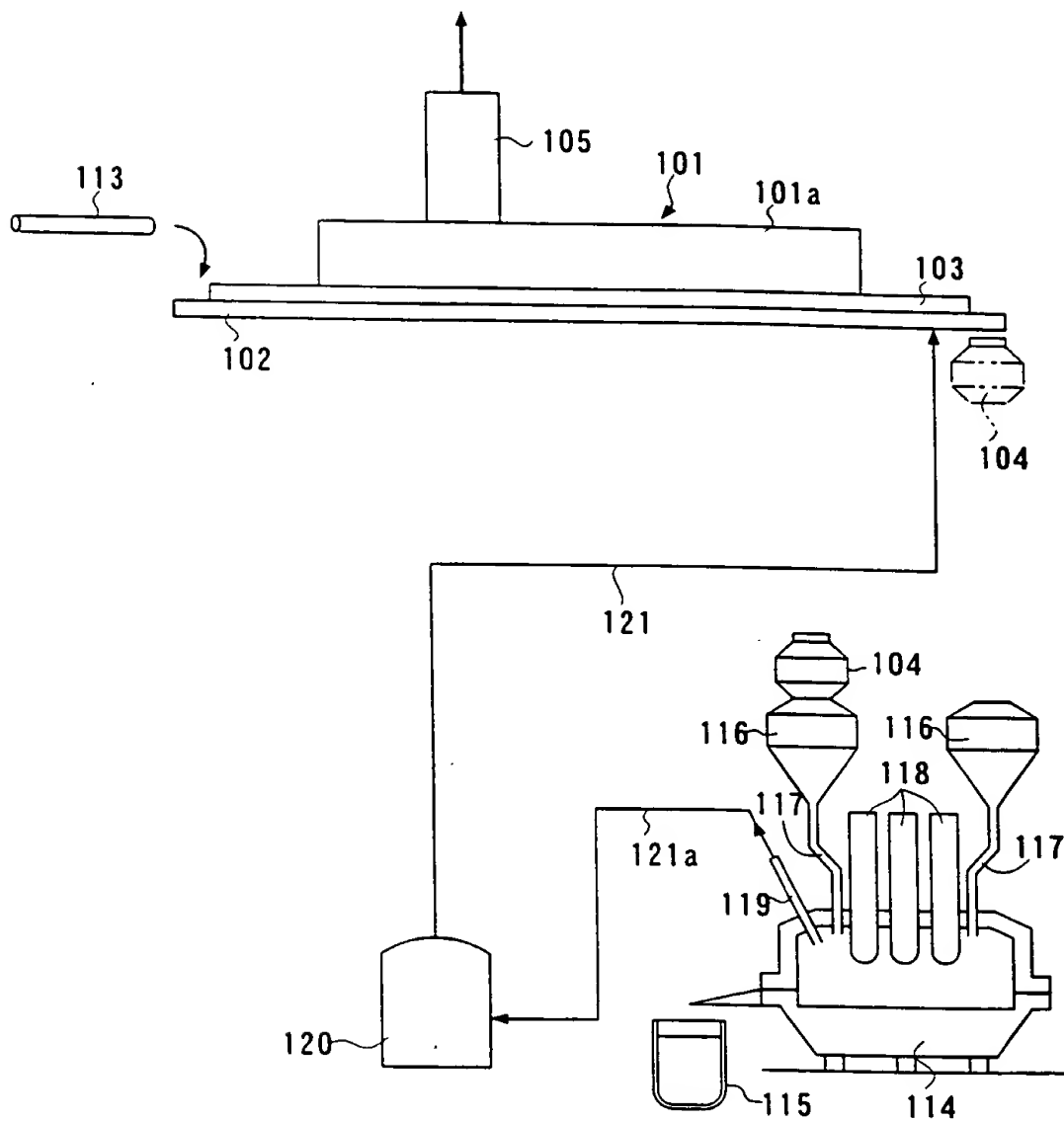


Fig. 1









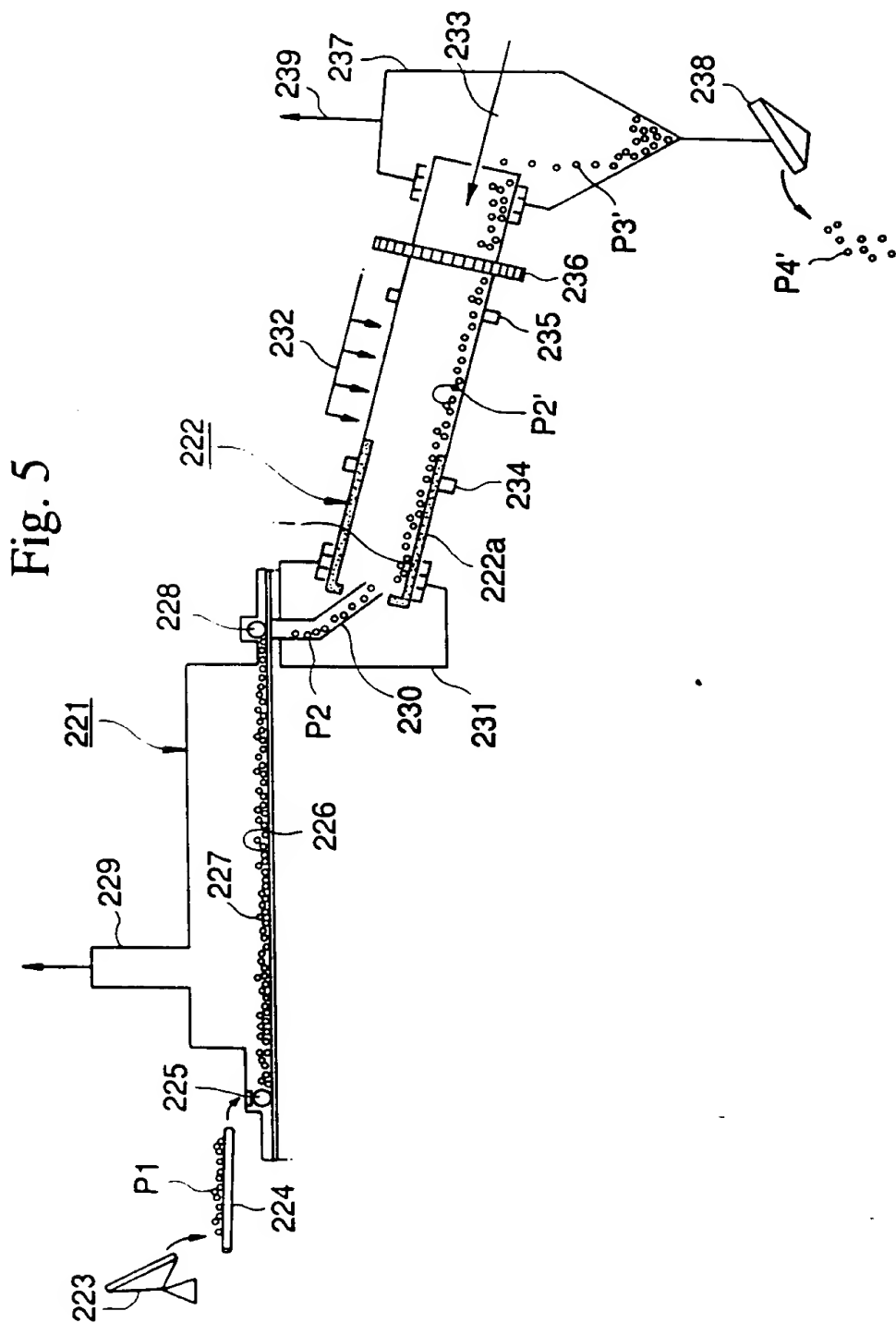


Fig. 6

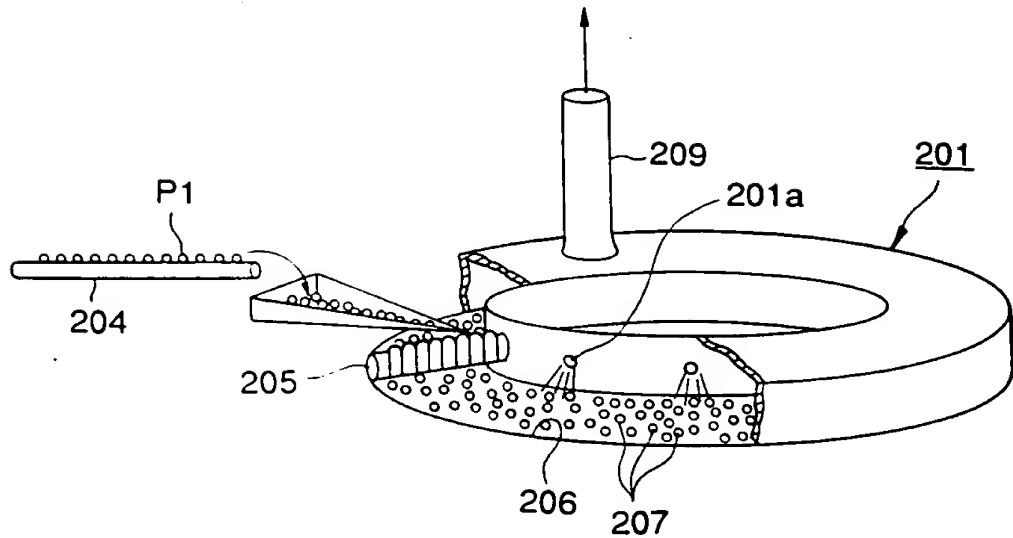
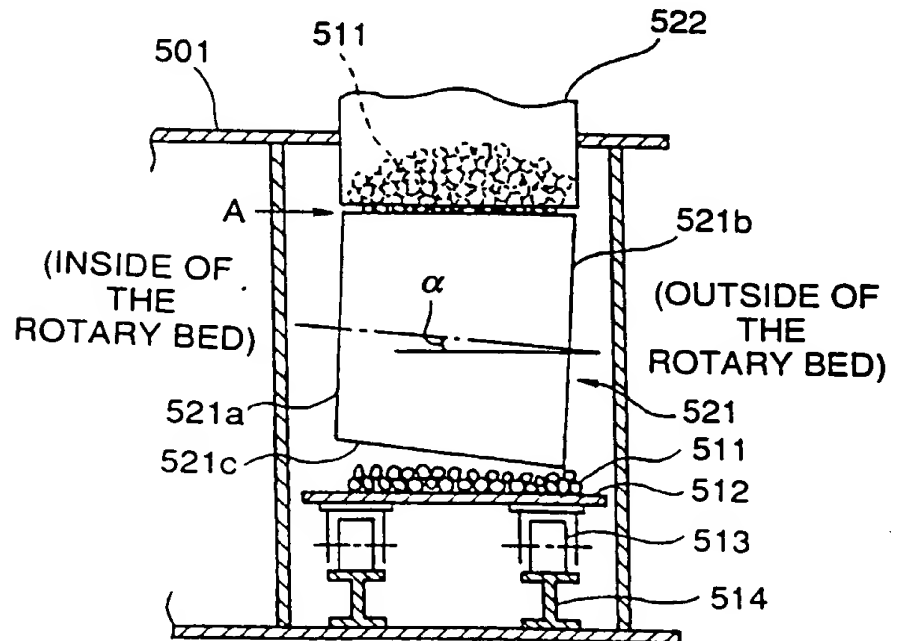
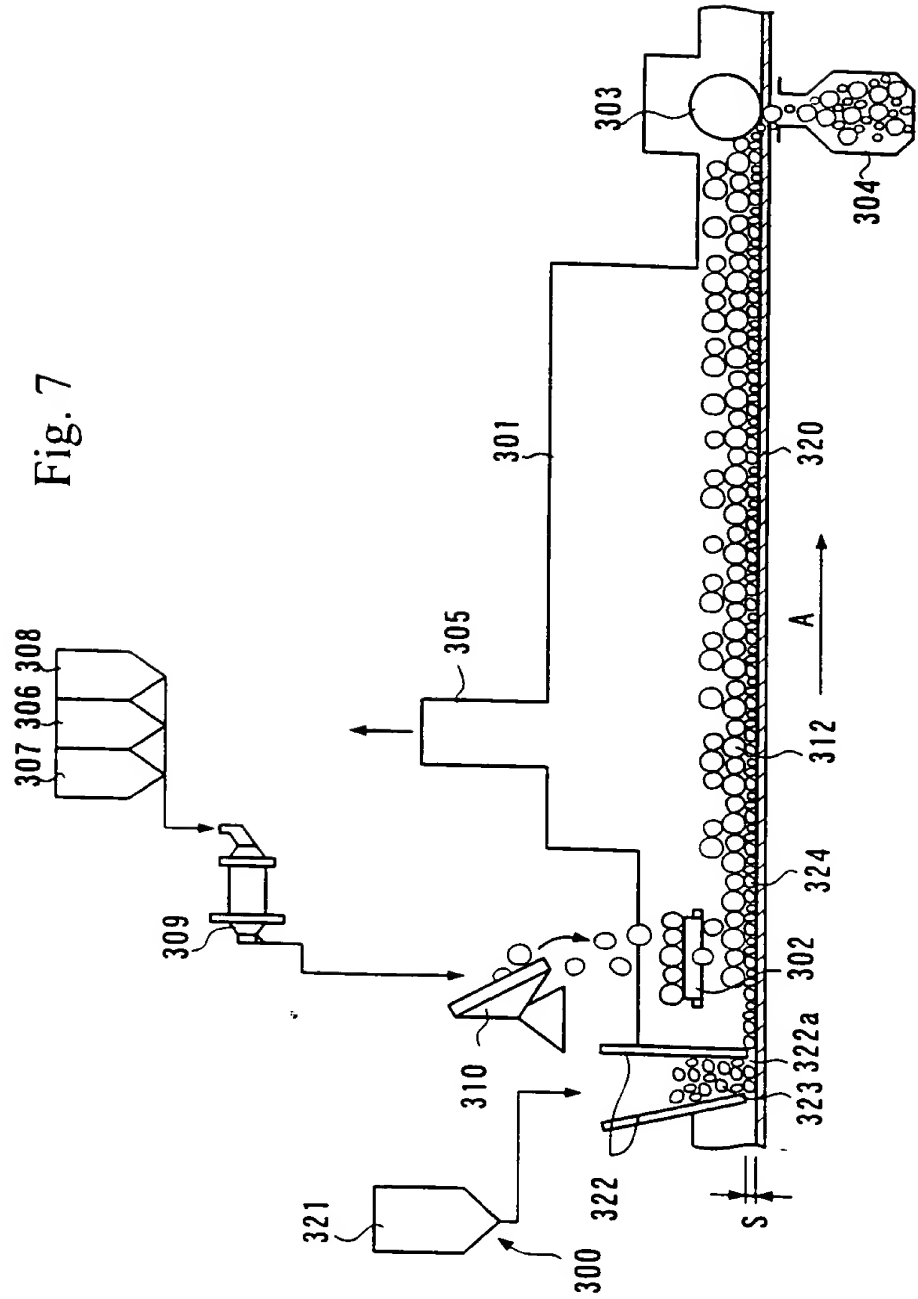
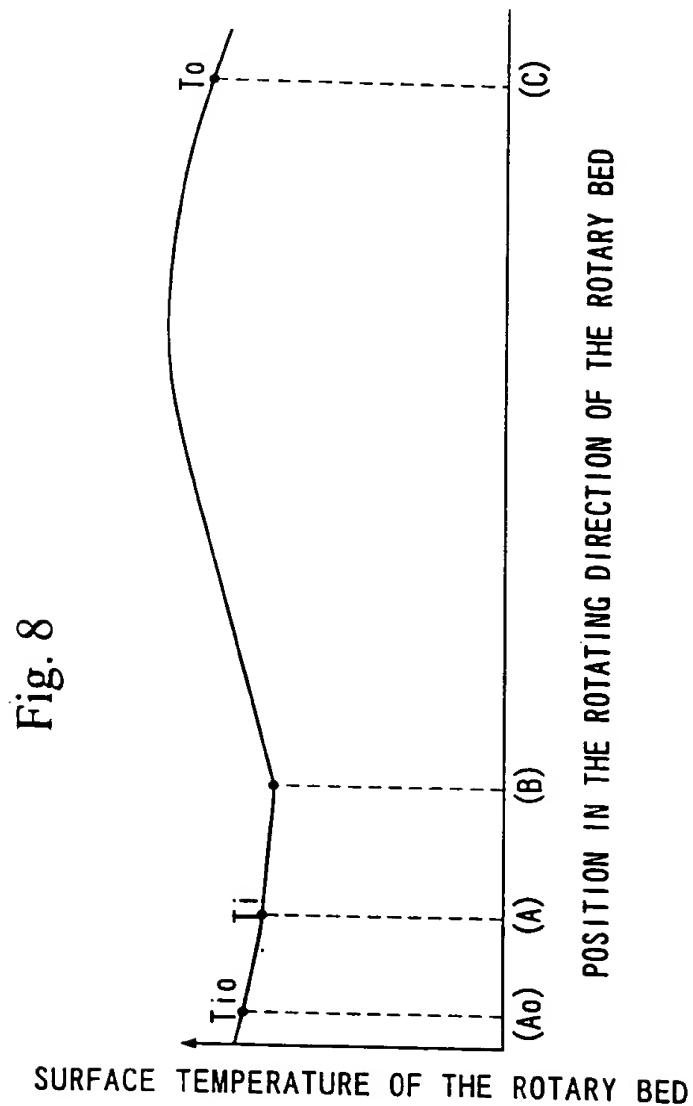


Fig. 14





1092200 25421660



109220" 85421650



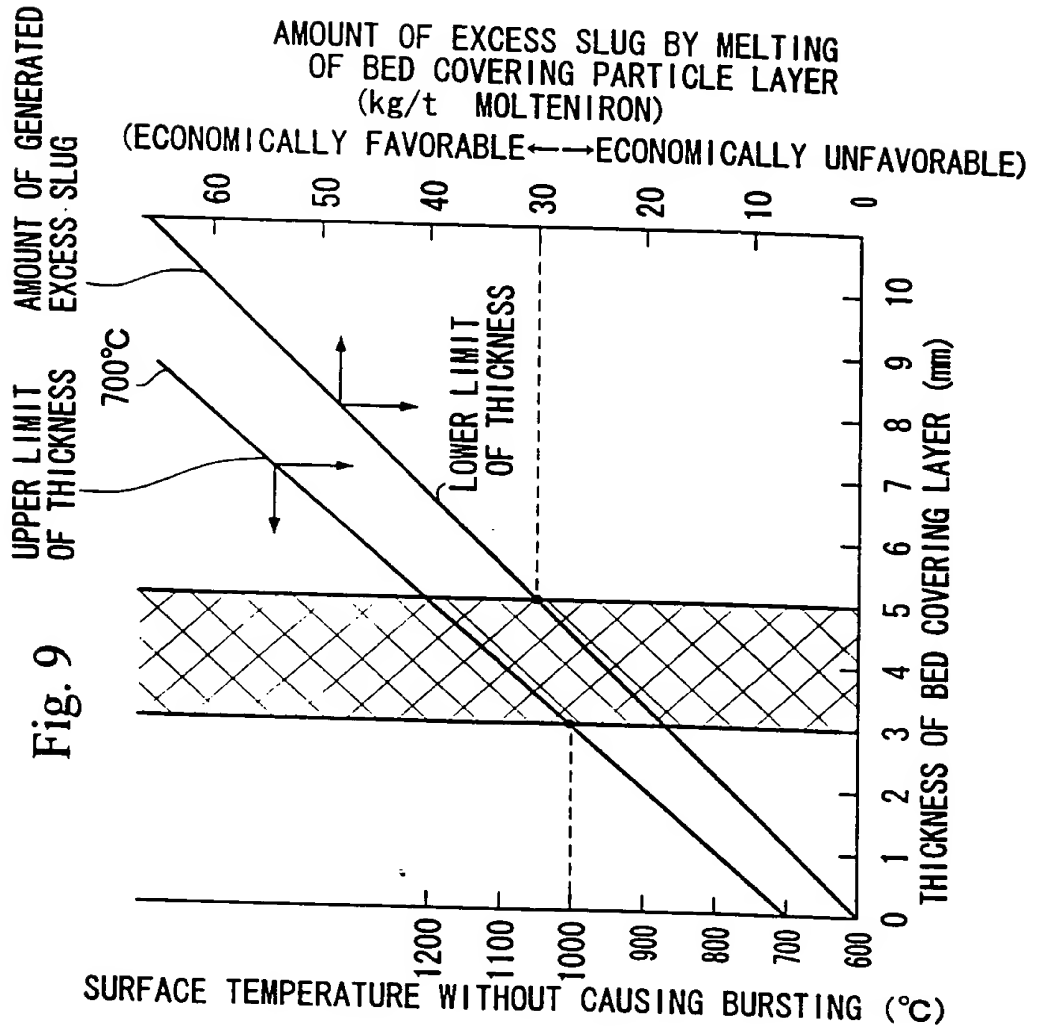


FIG. 9

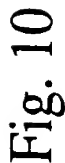
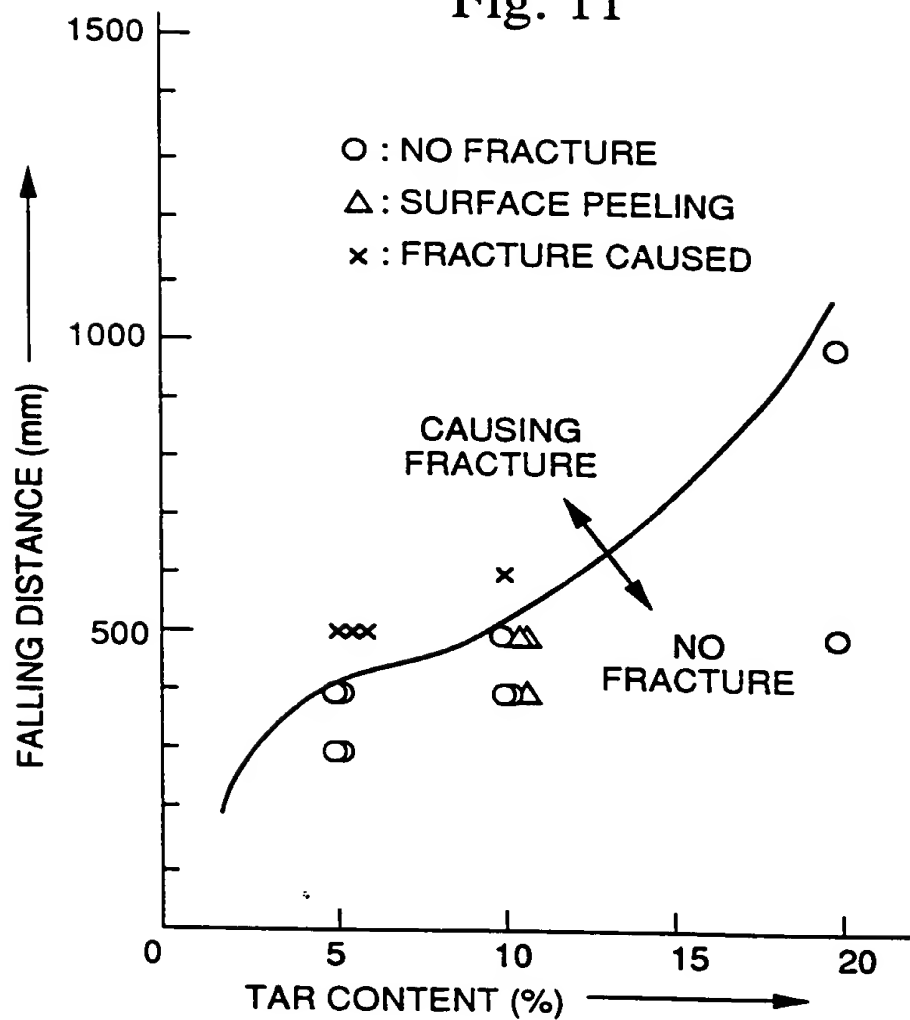


Fig. 11



091249.072601

Fig. 12

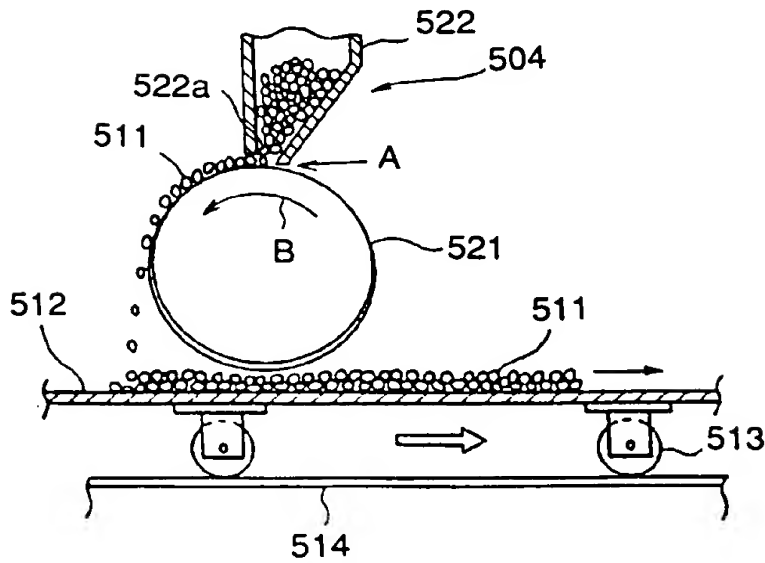
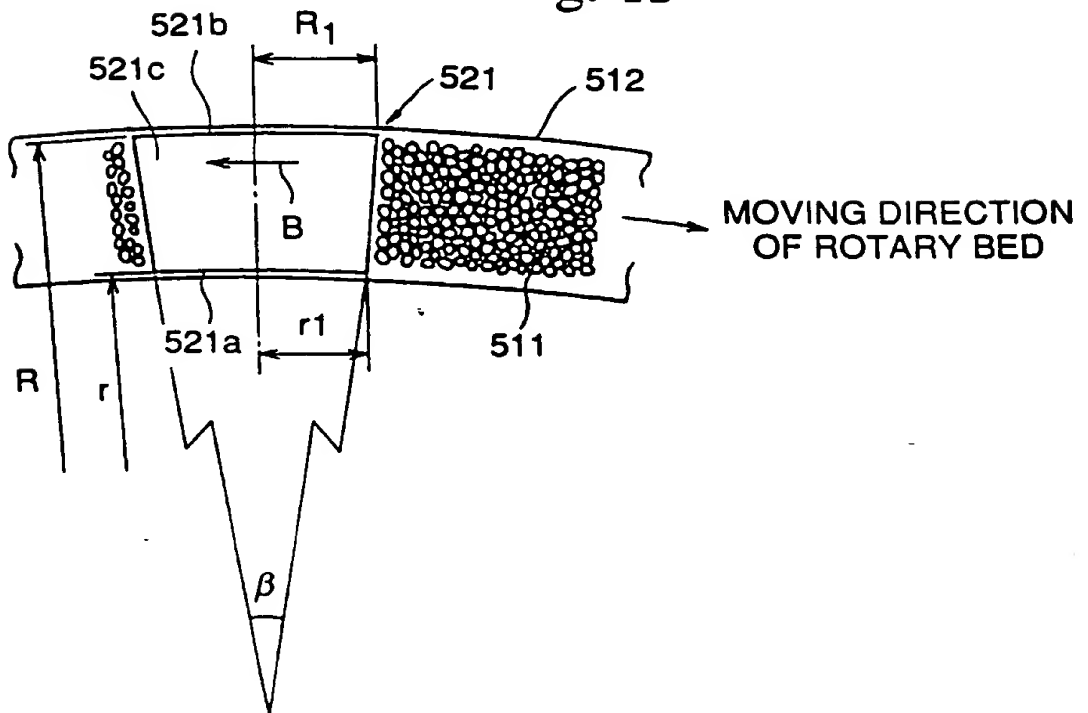


Fig. 13



109270"8642T660

Fig. 15

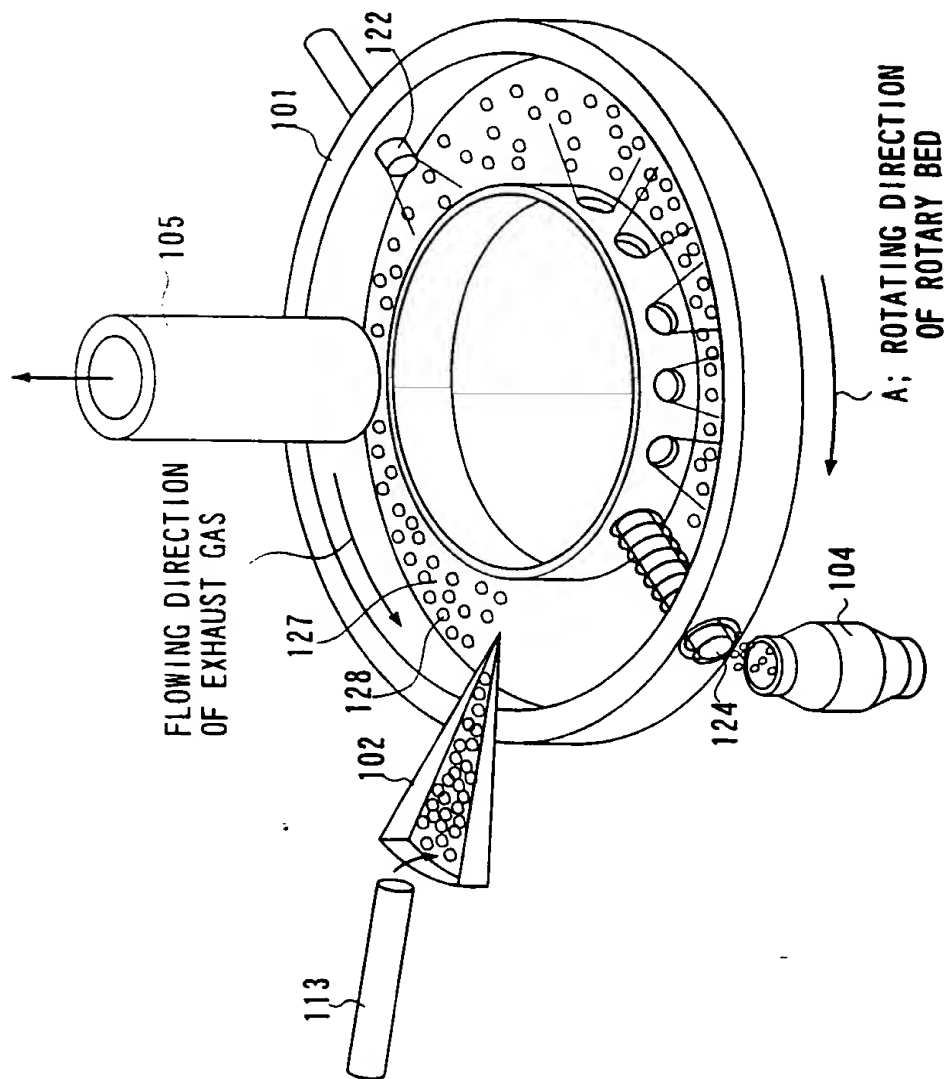
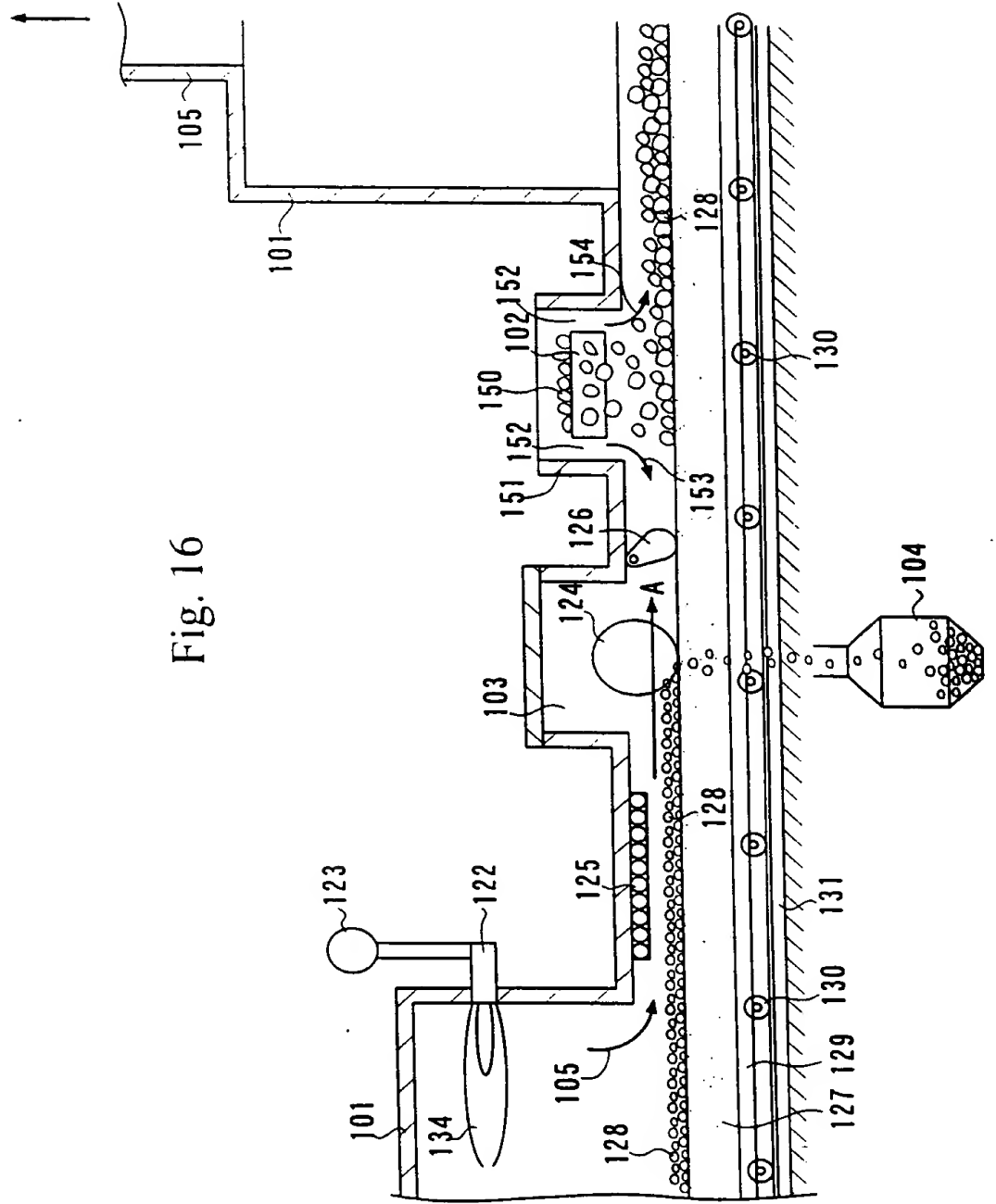


Fig. 16





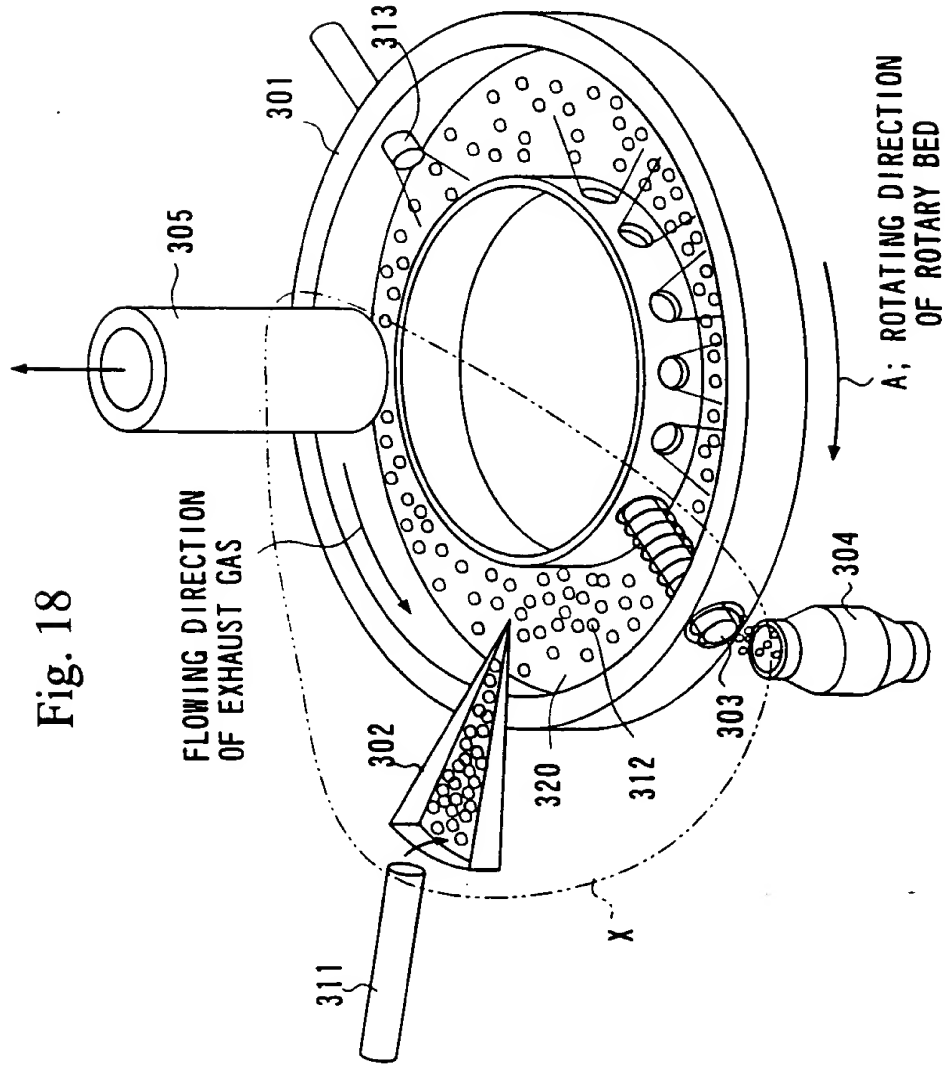




Fig. 19

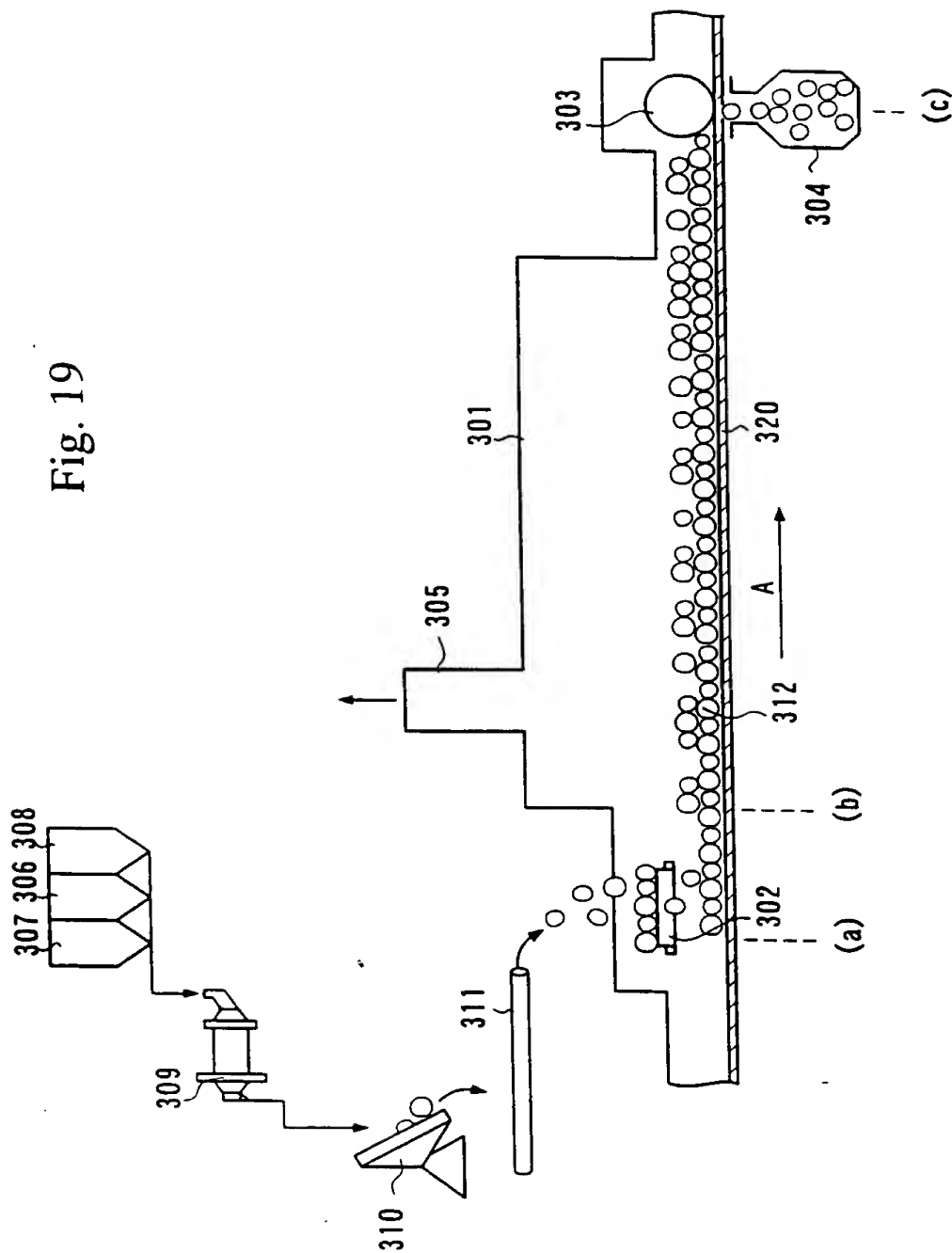
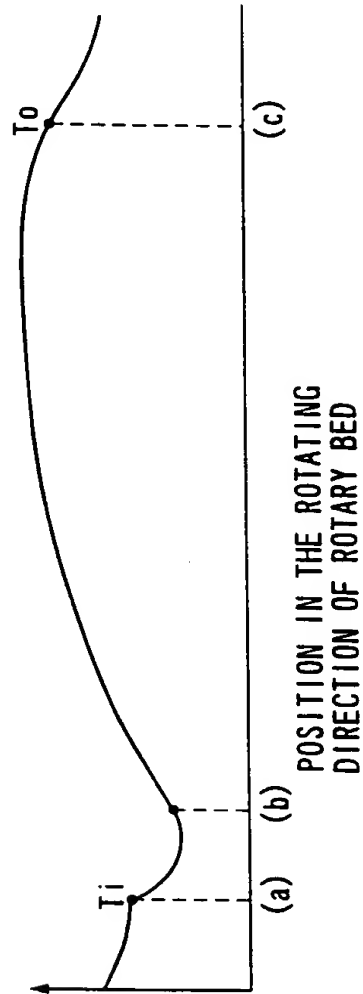


Fig. 20

SURFACE TEMPERATURE OF ROTARY BED



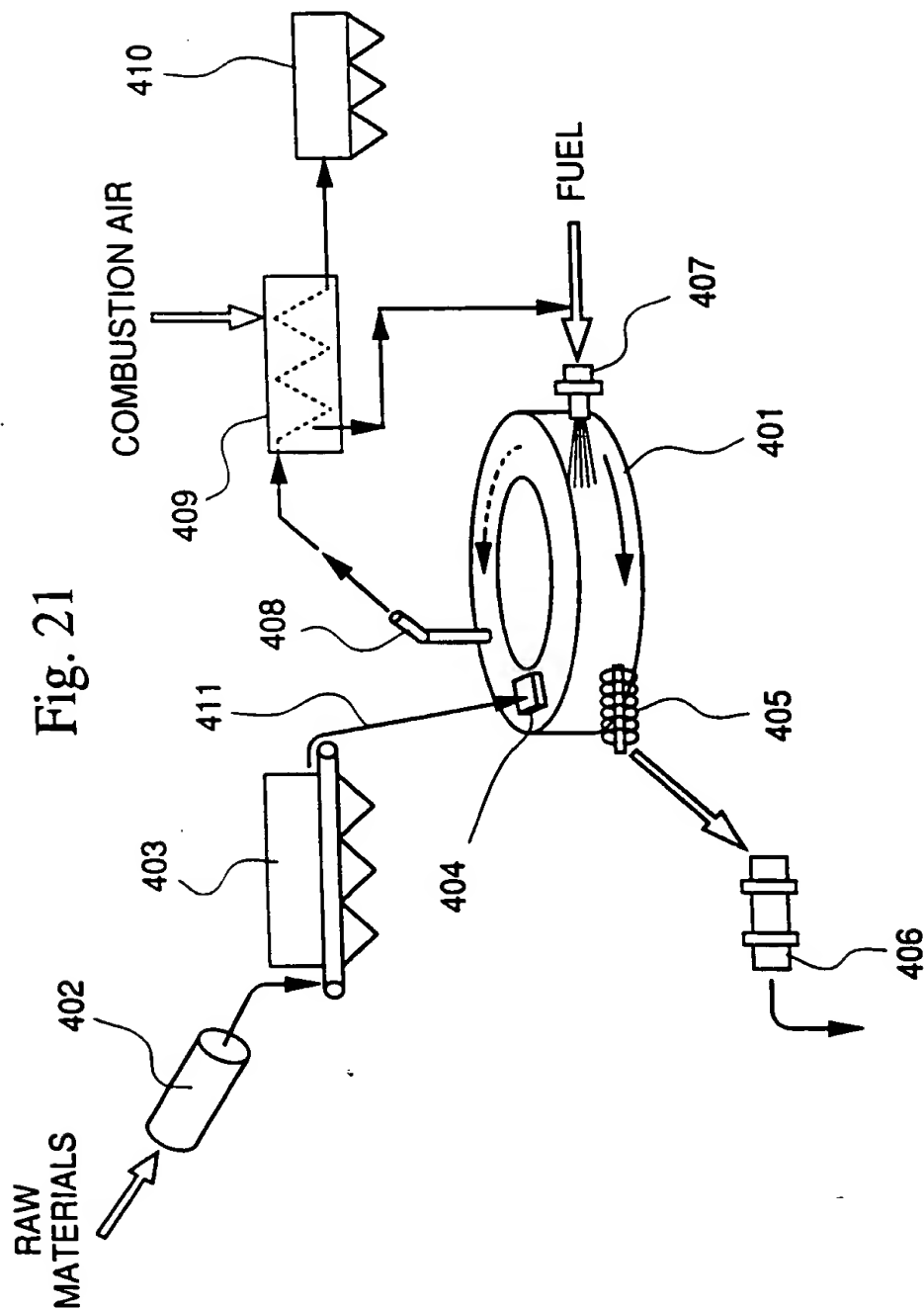


Fig. 22

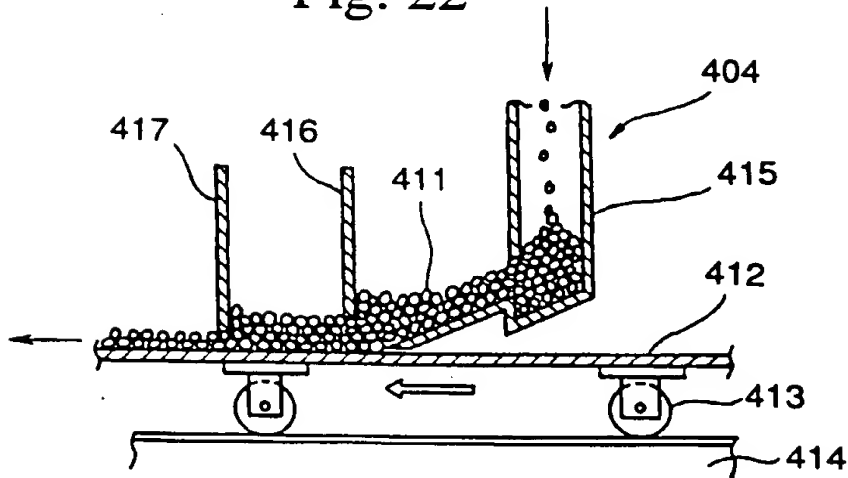
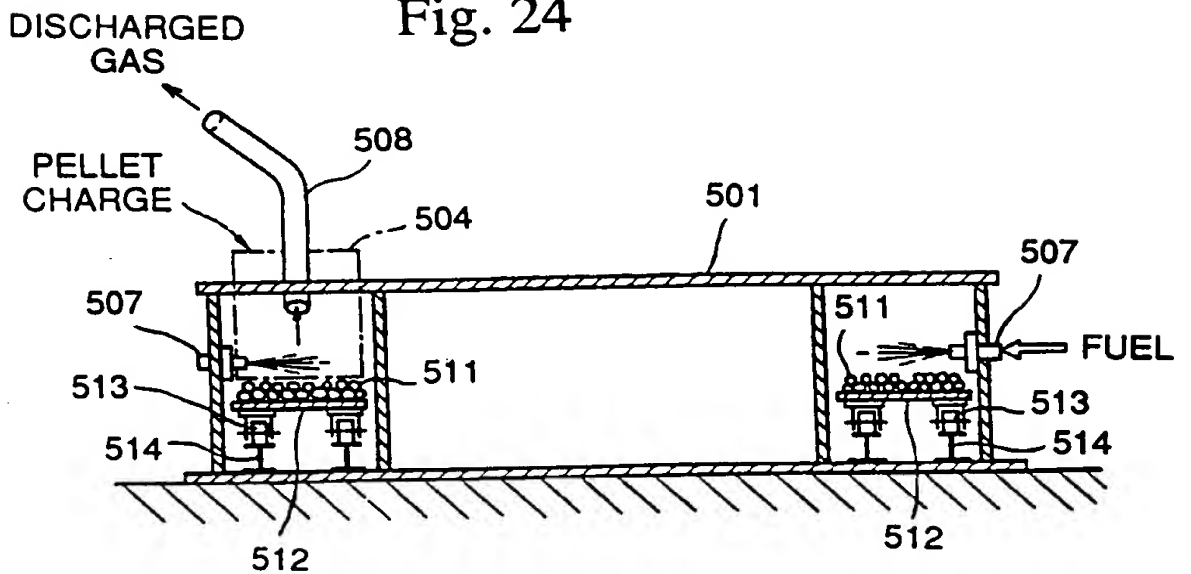


Fig. 24



092498 07601

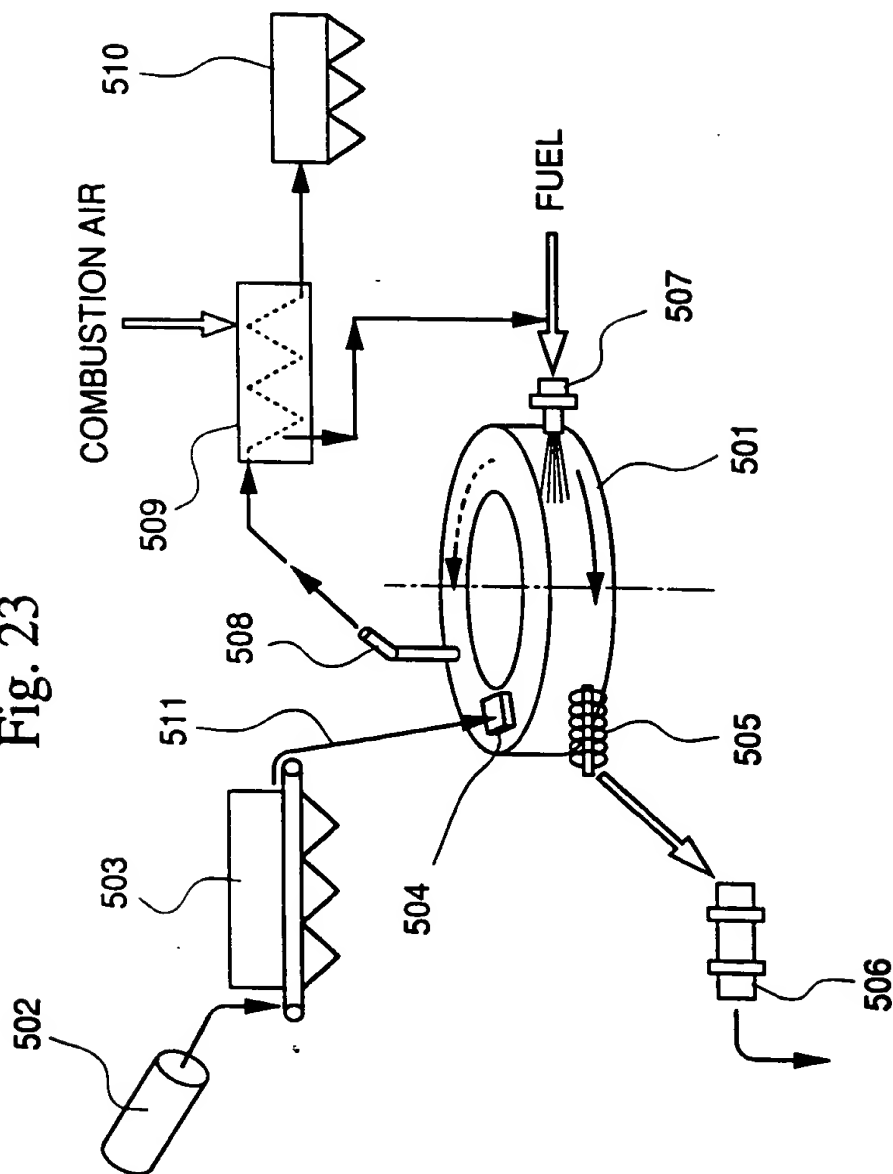
[illegible]

Fig. 25

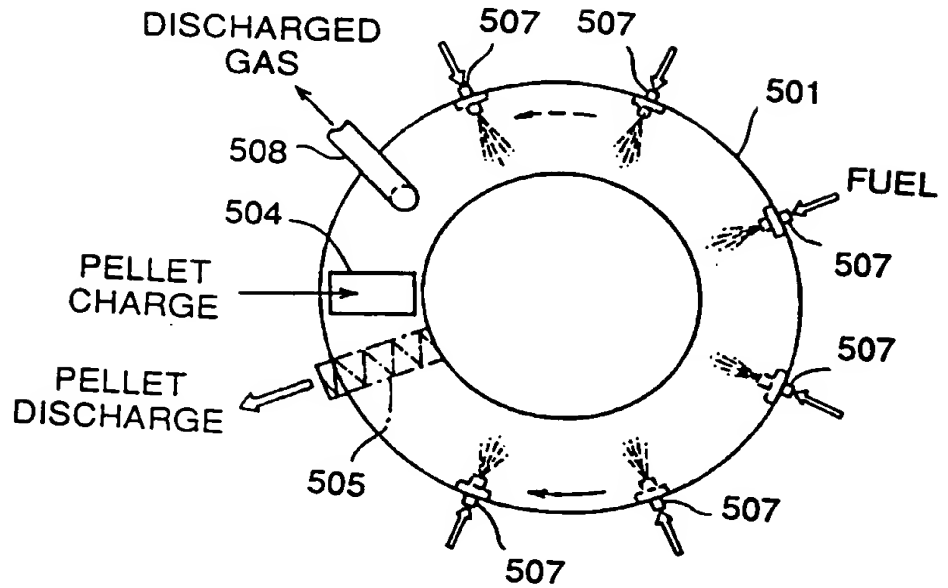


Fig. 26

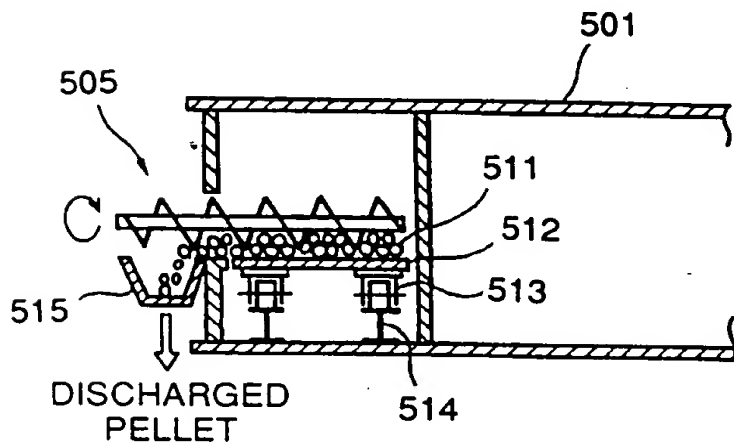


Fig. 27A

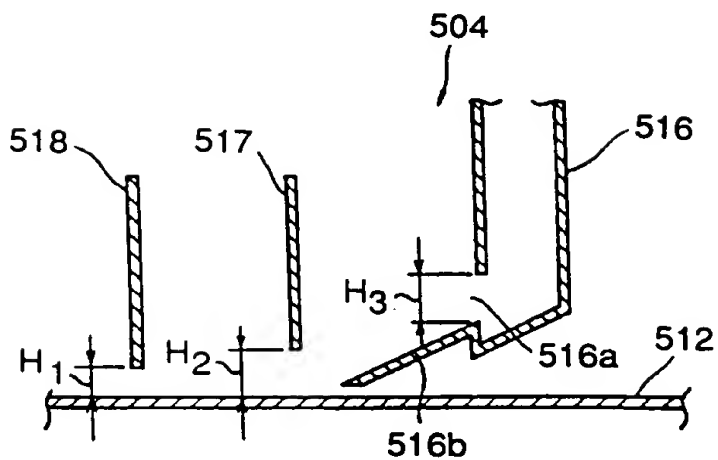


Fig. 27B

